

# NEWAGE実験47: 陰イオンμTPCにおけるマイノリティキャリアの性質解明

池田 智法

身内賢太朗、矢ヶ部遼太、橋本隆、中澤美季、石浦宏尚、中村輝石

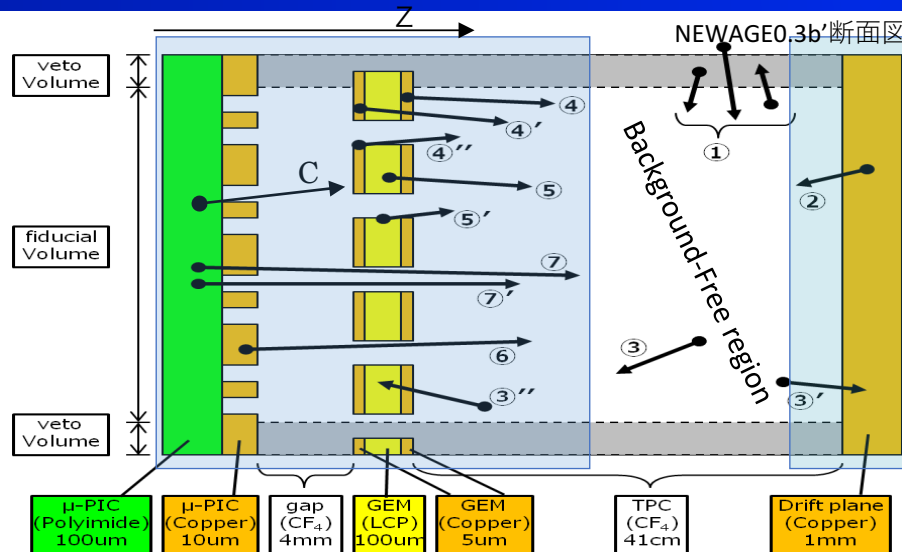
神戸大学

2017年9月15日

2017年日本物理学会秋季大会

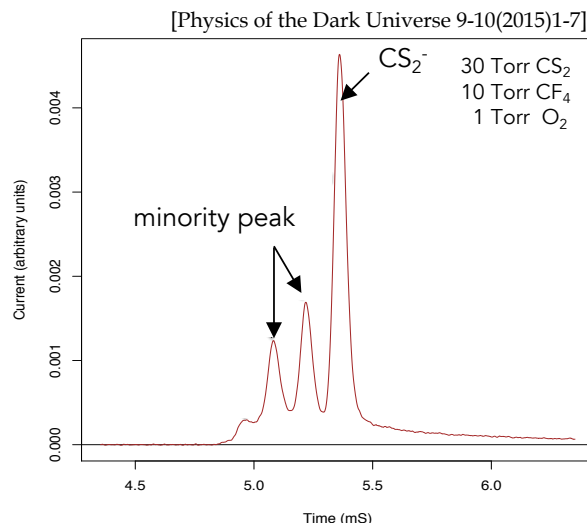
- 陰イオンμTPC開発のモチベーション
- セットアップ
- マイノリティキャリアにおける $H_2O$ の影響
- 新しいマイノリティキャリア
- まとめ

# モチベーション1



## □ バックグラウンド

RUN14で検出器感度を制限していたBG  
--> $\mu$ -PICのガラス纖維由来の $\alpha$ 線



## □ 陰イオンガスを用いたZの位置決定

DRIFTグループ(英・米)が陰イオンガスCS<sub>2</sub>を用いてMWPC-TPCでZの絶対位置決定に成功した

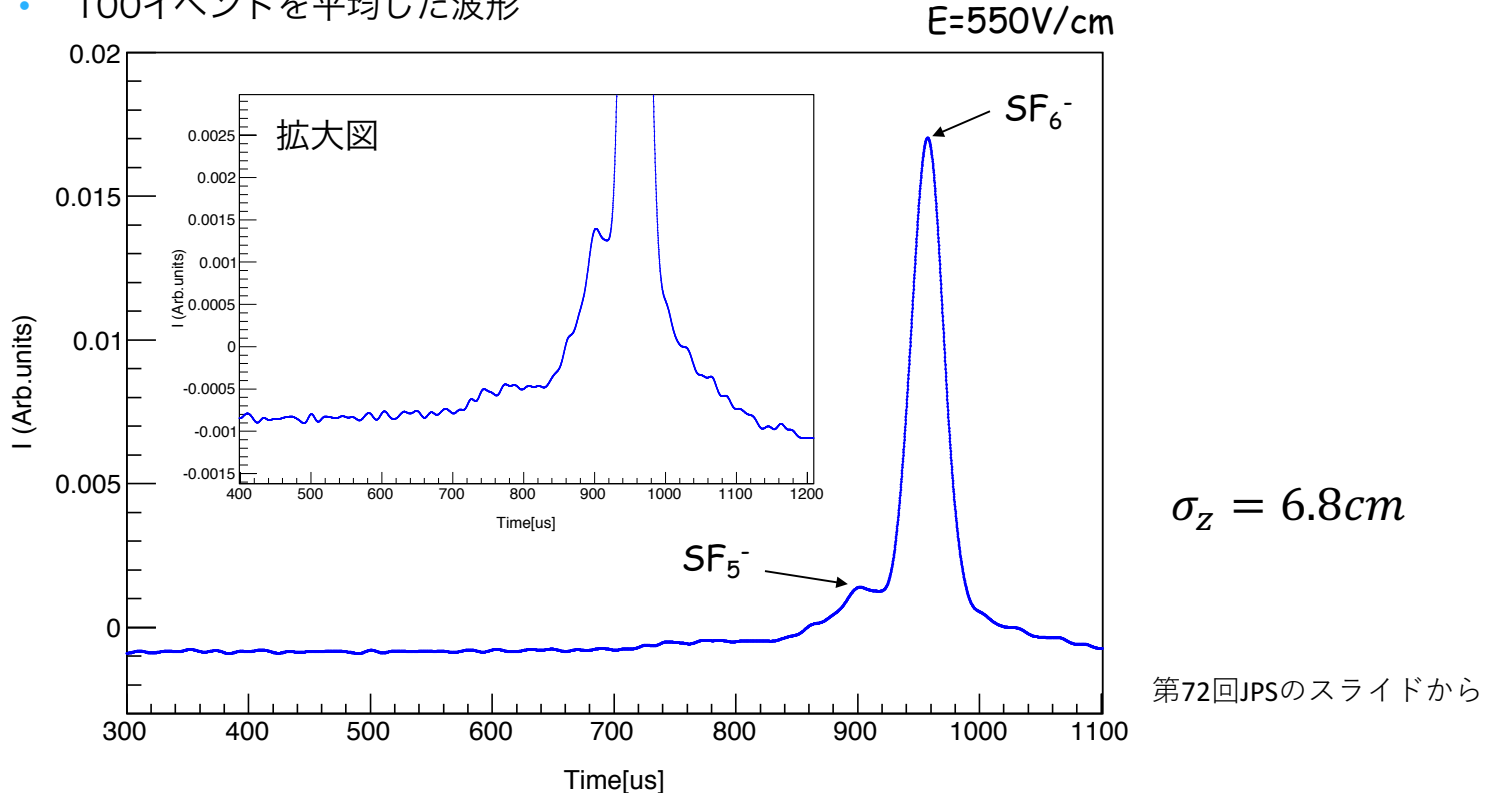
→陰イオンガスを $\mu$ TPCに導入し、高位置分解能飛跡検出と同時にZの有効体積カットをしたい

➤ NI $\mu$ TPC(陰イオン $\mu$ TPC)の開発

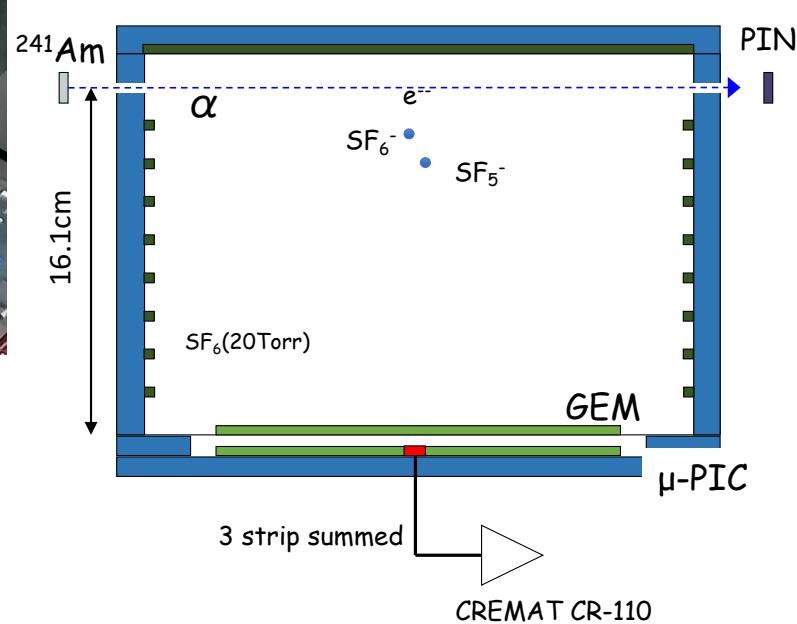
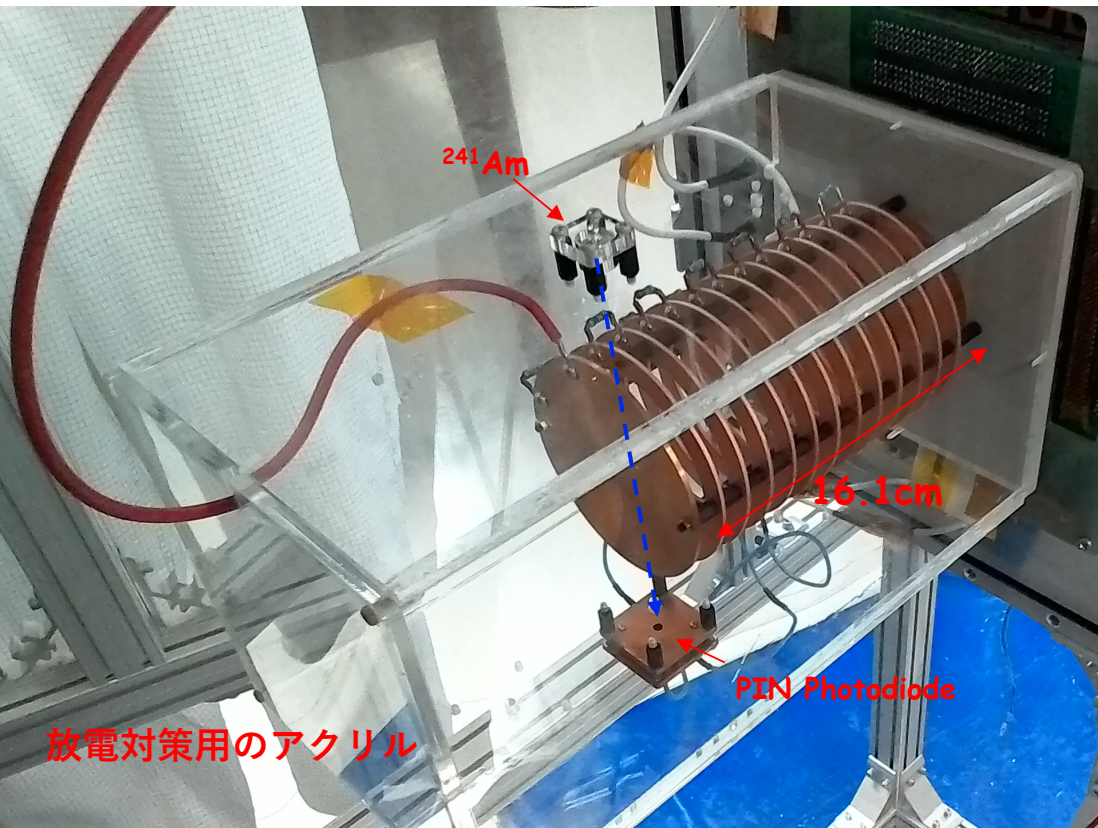
# モチベーション2

- 陰イオンガス $SF_6$ を用いた $\mu$ TPCの研究を行ってきた
- マイノリティキャリアである $SF_5^-$ の検出とZの絶対位置決定には成功している(第72回JPS)
- Zの決定精度を向上を目的に、マイノリティキャリアの性質を調べた

- 100イベントを平均した波形



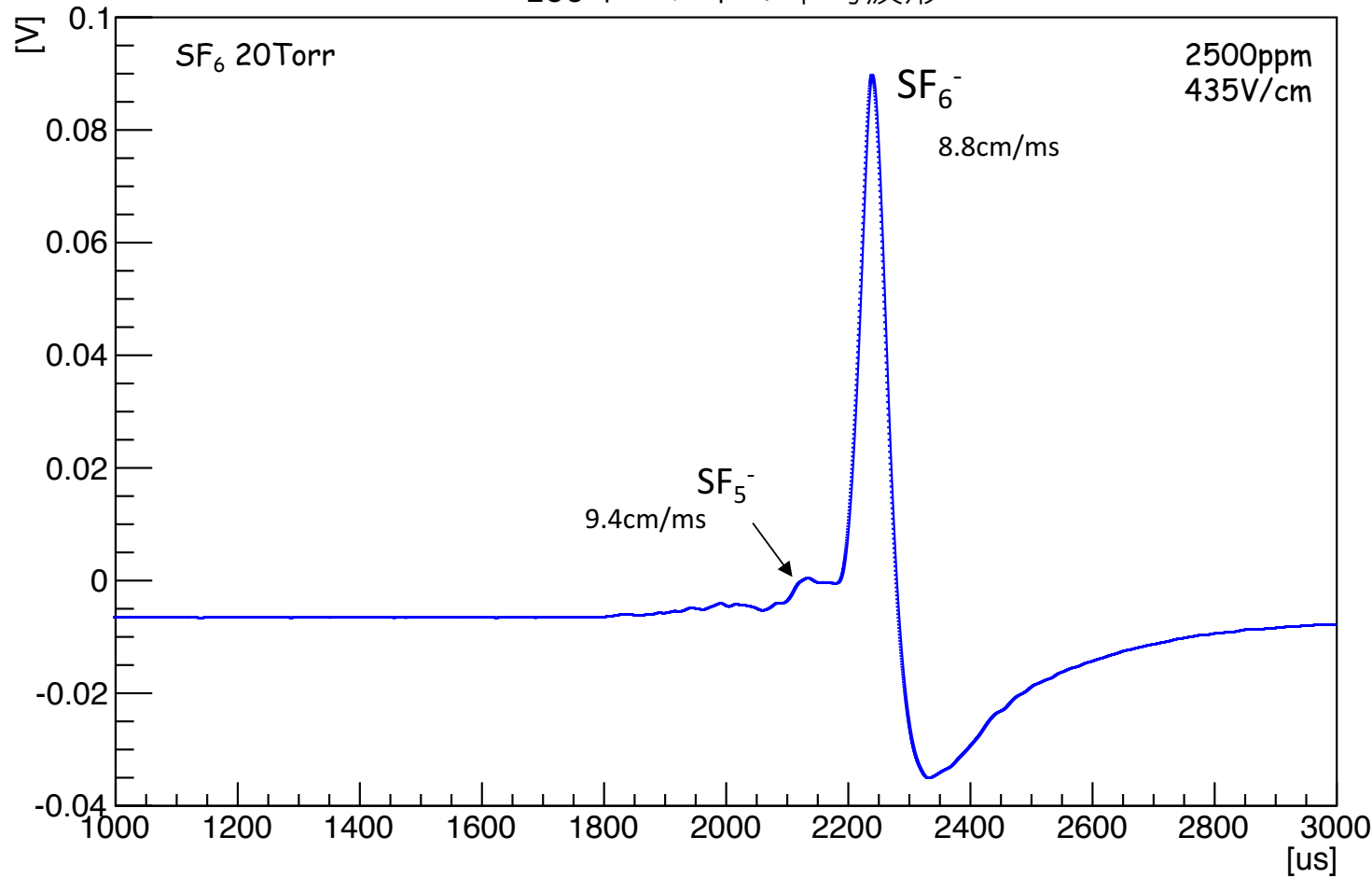
# セットアップ



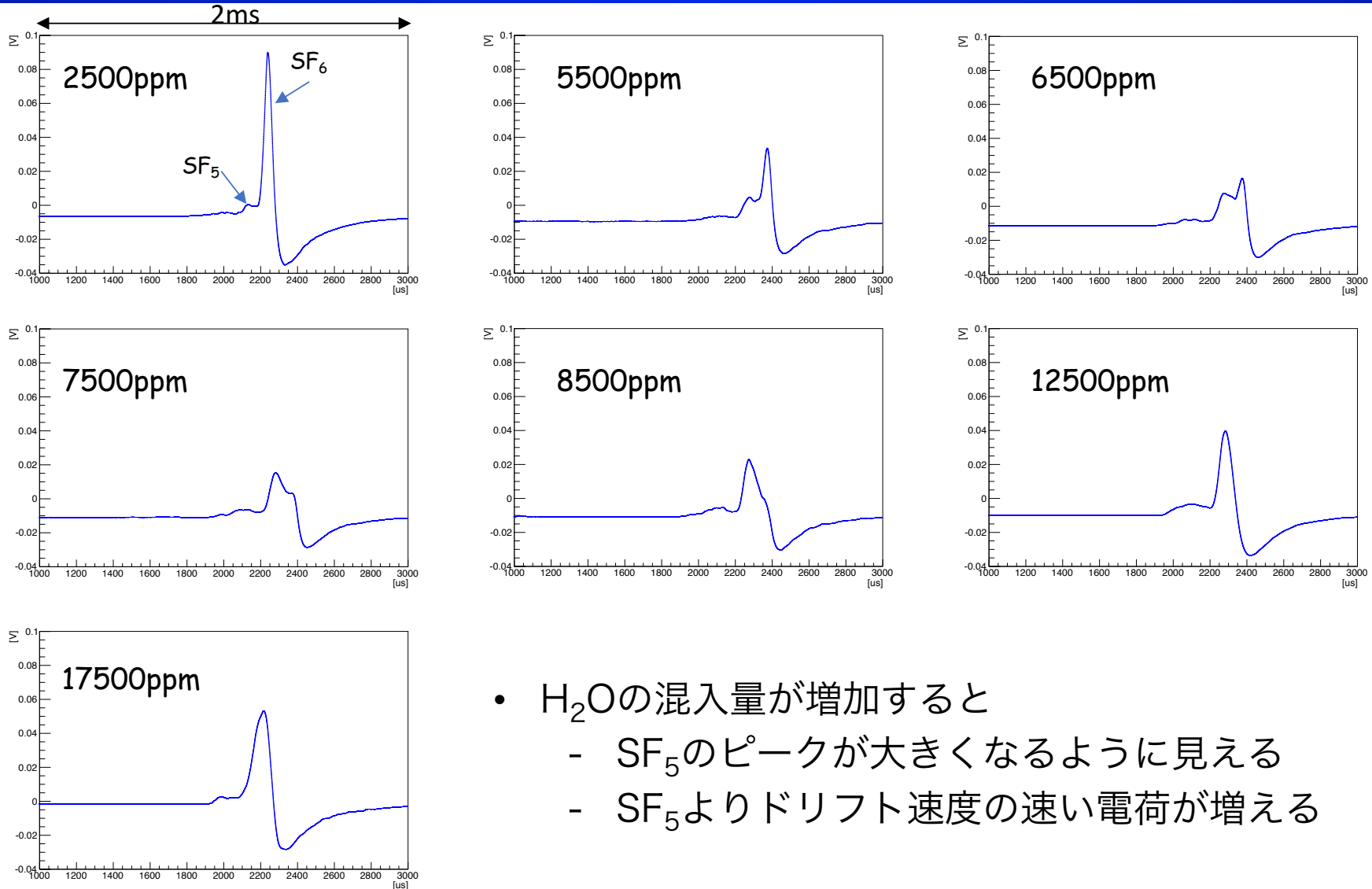
- ガス気圧 :  $SF_6(20\text{ Torr})$
- ドリフト距離 : 16.1cm
- 電場:  $E=300\sim500\text{V/cm}$
- 線源 :  $^{241}Am$
- 信号読み出し :  $\mu\text{-PIC}$ アノード3ストリップ
- ガスゲイン :  $\sim2000$

# 波形

~100イベントの平均波形



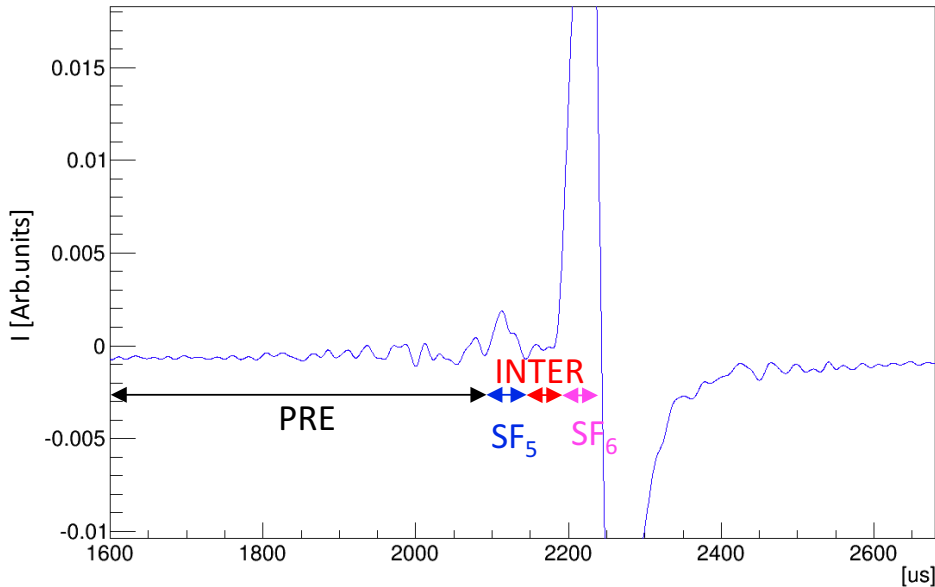
# アウトガス $\text{H}_2\text{O}$ による波形の変化



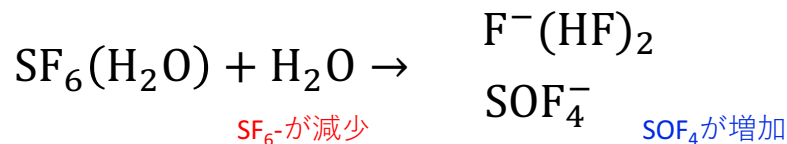
- $\text{H}_2\text{O}$ の混入量が増加すると
  - $\text{SF}_5$ のピークが大きくなるように見える
  - $\text{SF}_5$ よりドリフト速度の速い電荷が増える

# H<sub>2</sub>Oによる電荷量の変化

電荷の定義図

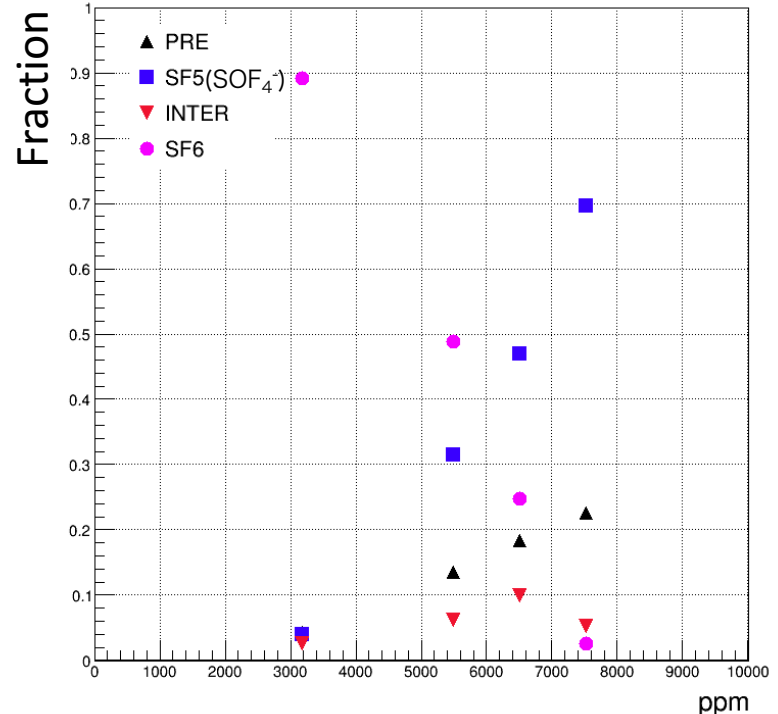


- SF<sub>6</sub><sup>-</sup>(H<sub>2</sub>O)とH<sub>2</sub>Oの反応



- 電荷量の変化はSF<sub>6</sub>とH<sub>2</sub>Oの反応で説明できる
- SF<sub>5</sub><sup>-</sup>領域の電荷の増加はSOF<sub>4</sub><sup>-</sup>が寄与している
- F<sup>-</sup>(HF)<sub>2</sub><sup>-</sup>とSF<sub>4</sub>O<sup>-</sup>の生成比は1:4(*J. Phys. Chem. A* 2001, 105, 3527-3531)、PREチャージはF<sup>-</sup>(HF)<sub>2</sub><sup>-</sup>で説明可能

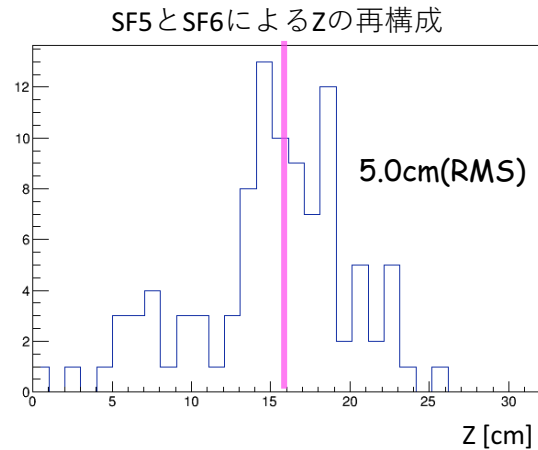
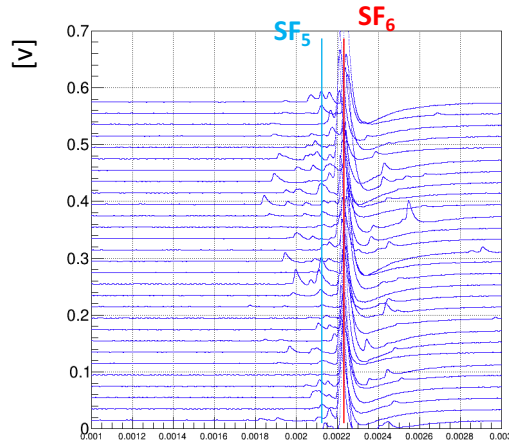
水分と電荷量の変化



SF<sub>5</sub>の質量 : 127.05g/mol  
SOF<sub>4</sub><sup>-</sup>の質量 : 124.05g/mol  
F<sup>-</sup>(HF)<sub>2</sub><sup>-</sup>の質量 : 59.00g/mol

# 位置分解能

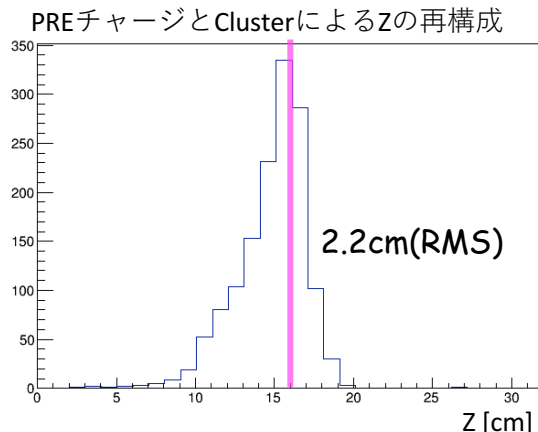
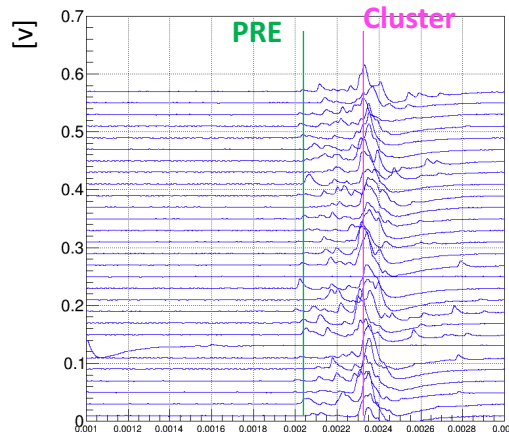
**2500ppm**



$$Z = \frac{v_s \cdot v_p}{v_s - v_p} \Delta T,$$

- SF<sub>5</sub><sup>-</sup>とSF<sub>6</sub><sup>-</sup>を用いたZの位置決定
- 少量のH<sub>2</sub>OによってPREチャージが生成されるため決定精度が悪い

**12500ppm**

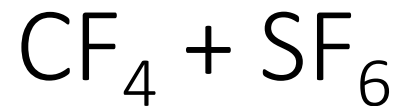


- メインピークはSOF<sub>4</sub><sup>-</sup>+SOF<sub>4</sub><sup>-</sup>(H<sub>2</sub>O)<sub>n</sub>+SF<sub>6</sub><sup>-</sup>+SF<sub>6</sub>(H<sub>2</sub>O)<sub>n</sub>のクラスター
- PREチャージとクラスターを用いたZの位置決定
- PREチャージより速い電荷がないため決定精度が良くなる
- トラッキングの精度が落ちる

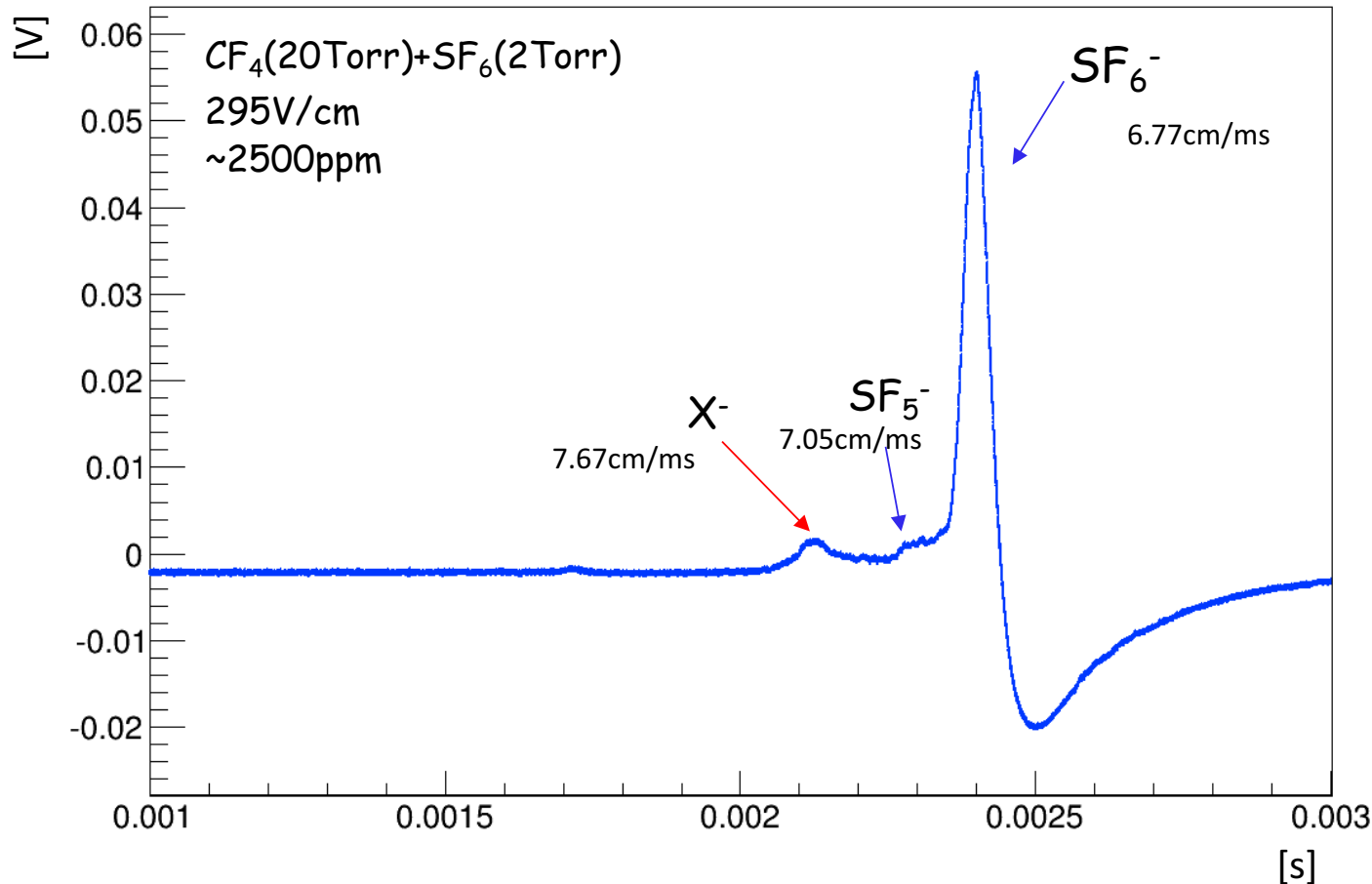
# SF<sub>6</sub>とH<sub>2</sub>Oのまとめ

- SF<sub>6</sub><sup>-</sup>とアウトガスからのH<sub>2</sub>Oとの反応で波形が変化することが確認された
  - 現状の最もクリーンなデータはH<sub>2</sub>Oの混入量0.5%以下
    - SF<sub>5</sub>とSF<sub>6</sub>が検出された
    - H<sub>2</sub>Oの混入によってF<sup>-</sup>(HF)<sub>2</sub><sup>-</sup>が生成されるため決定精度が悪い
  - H<sub>2</sub>Oの混入量0.5%以上
    - 他の陰イオン(F<sup>-</sup>(HF)<sub>2</sub><sup>-</sup>、 SOF<sub>4</sub><sup>-</sup>(H<sub>2</sub>O)<sub>n</sub>など)の生成が活発になる

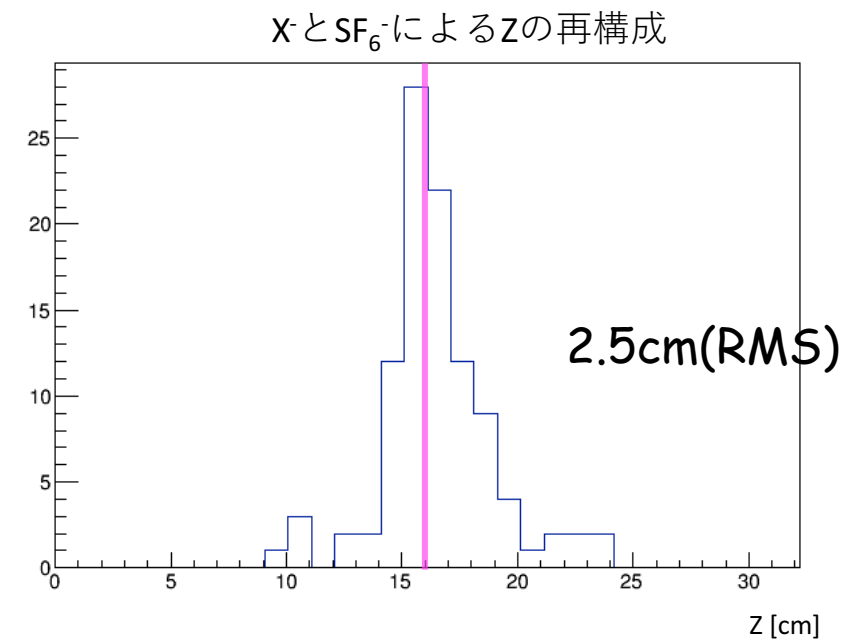
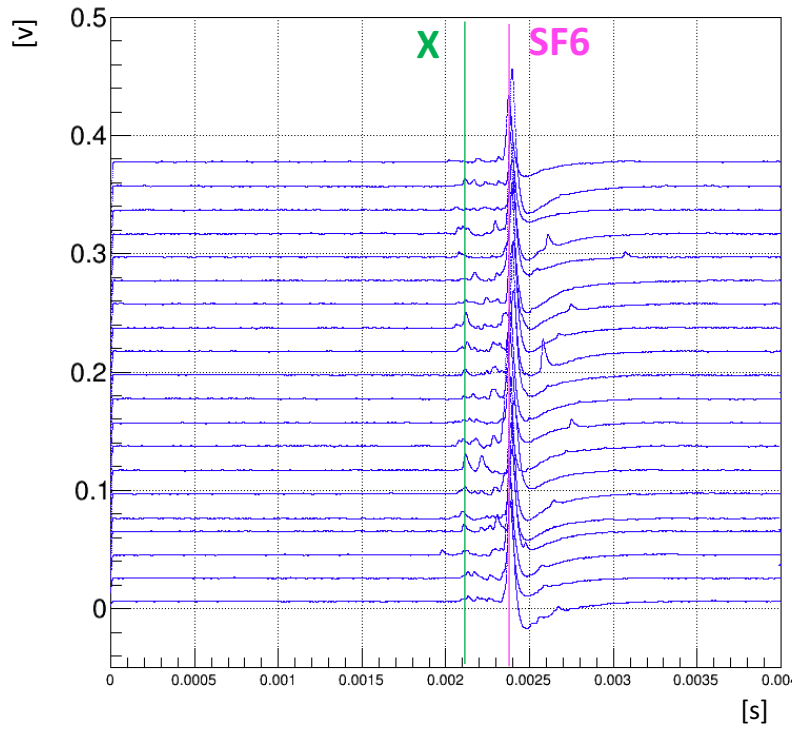
- SF<sub>6</sub>を用いた陰イオンμTPCではH<sub>2</sub>Oの混入を防ぐことが非常に重要!!
- 今後、ガス循環システムを導入して純度の向上を目指す



- DRIFTグループ(英・米)による新しいマイノリティキャリア $X^-$ の発見
- NEWAGEグループでも同様のキャリアが観測された



# X-を用いた位置分解能



- 電荷X-とSF<sub>6</sub>-を用いてZの絶対位置を再構成が可能
- 多少のH<sub>2</sub>Oが混入しても電荷XはF-(HF)<sub>2</sub>-のドリフト速度より速いため、決定精度が悪くならない

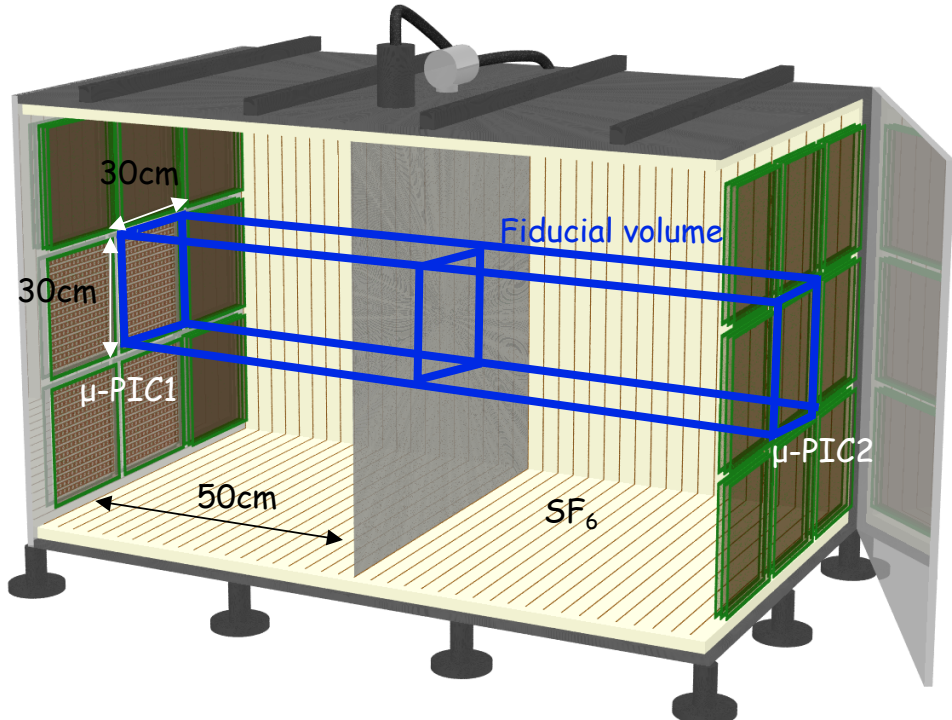
# SF<sub>6</sub>とH<sub>2</sub>Oの対策

- SF<sub>6</sub>を用いた陰イオンμTPCではH<sub>2</sub>Oの混入を防ぐことが非常に重要!!
- 今後、ガス循環システムを導入して純度の向上を目指す
  
- F<sup>-</sup>(HF)<sub>2</sub><sup>-</sup>よりもドリフト速度の速いマイノリティキャリアを利用することで、H<sub>2</sub>O混入による位置決定精度の悪化を防ぐことができる

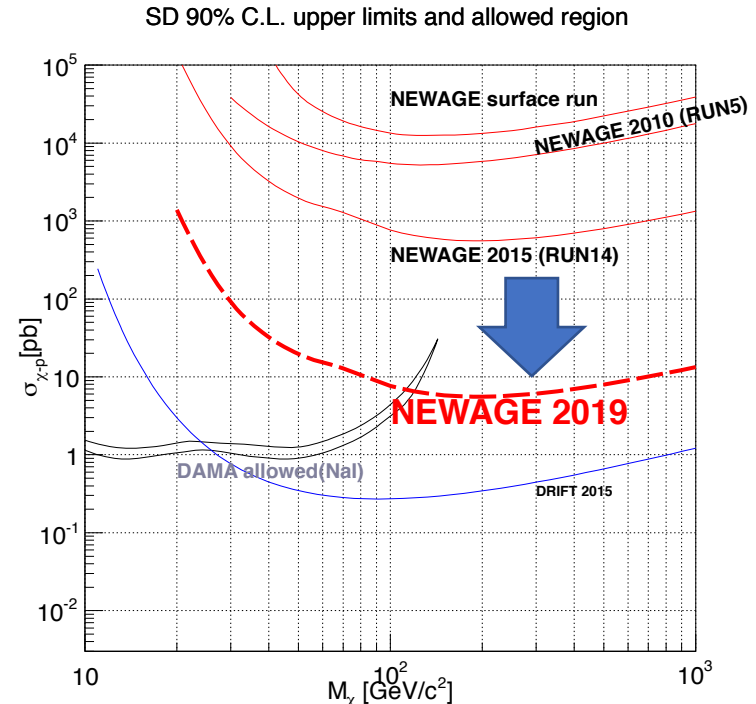
# 陰イオンμTPCと暗黒物質探索



CYGNUS/NEWAGE vessel

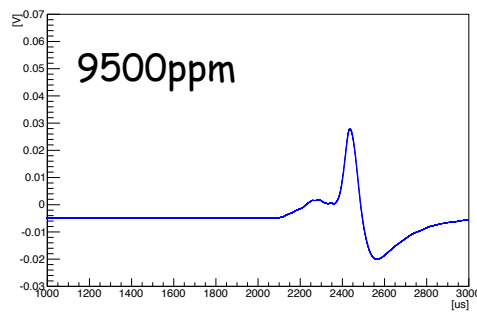
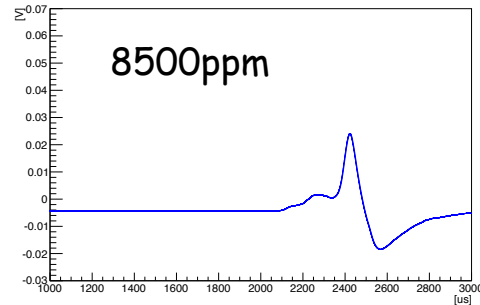
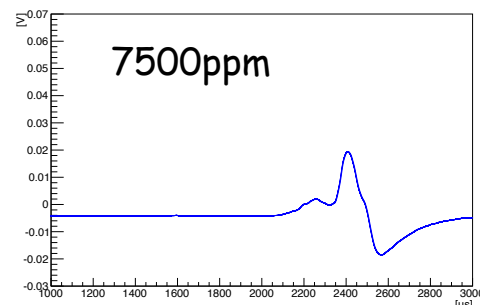
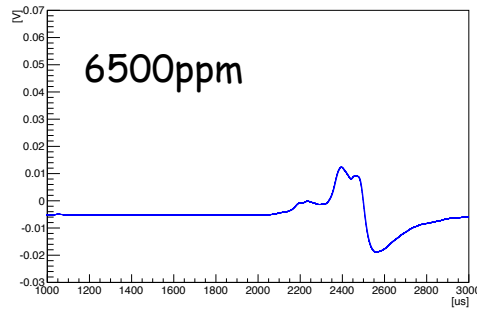
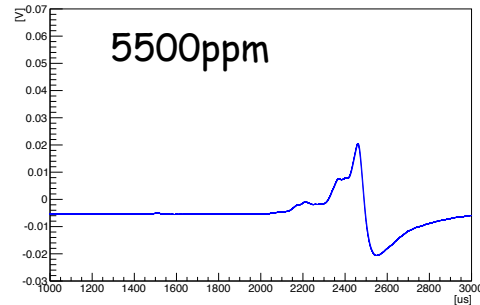
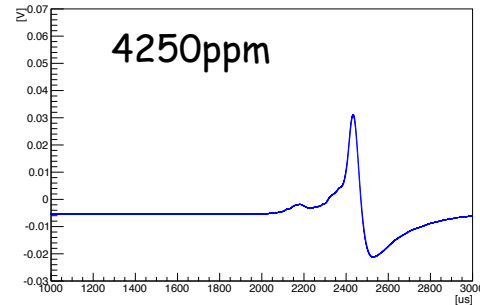
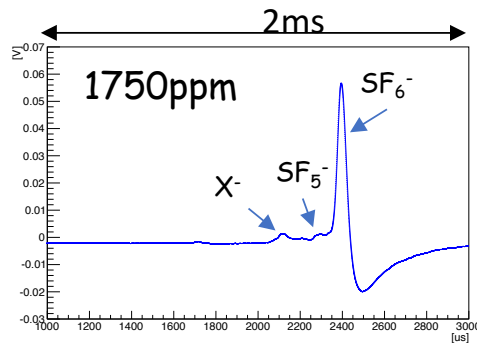


- Zの位置決定でμPICから7cm程度( $3\sigma$ )上をカットし、μPICバックグラウンドを除去
- 方向感度でDAMA領域の探索を目指す



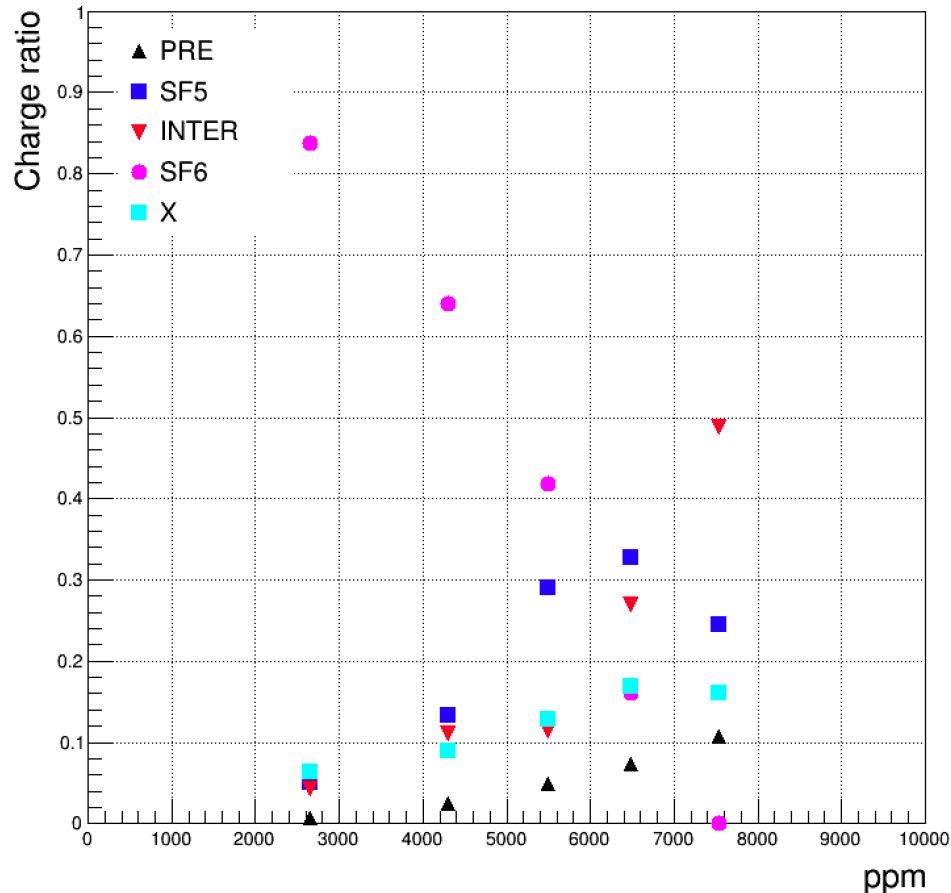
# Back up

# $H_2O$ による $X^-$ の波形の変化

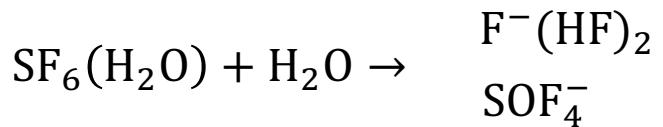


- $H_2O$ の混入量が増加すると
  - $SF_5^-$ のピークが大きくなるように見える
  - $SF_5^-$ よりドリフト速度の速い電荷が増えた
- $CF_4 + SF_6$ でも同傾向が観測された

# X<sup>-</sup>の電荷量変化

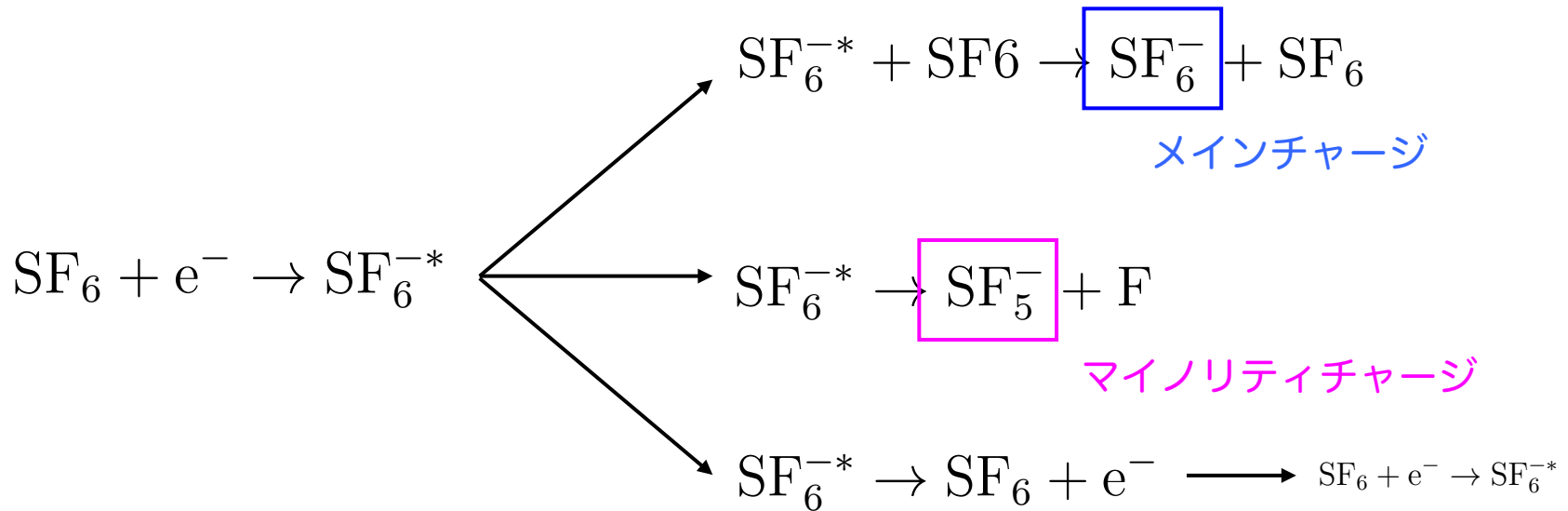


- H<sub>2</sub>Oの量が小さいところではX<sup>-</sup>とSF<sub>5</sub><sup>-</sup>は同程度の電荷量
- INTERチャージも同程度存在するがドリフト速度が速いので区別できる
- SF<sub>6</sub><sup>-</sup>とH<sub>2</sub>Oの反応



- SF<sub>6</sub><sup>-</sup>の減少とINTER・SF<sub>5</sub><sup>-</sup>の増加は上の反応式で説明できる
- X<sup>-</sup>がどういった陰イオンであるかは調査中

# 陰イオンの生成過程



# 波形解析

- 取得した波形は電流に変換して解析を行なった

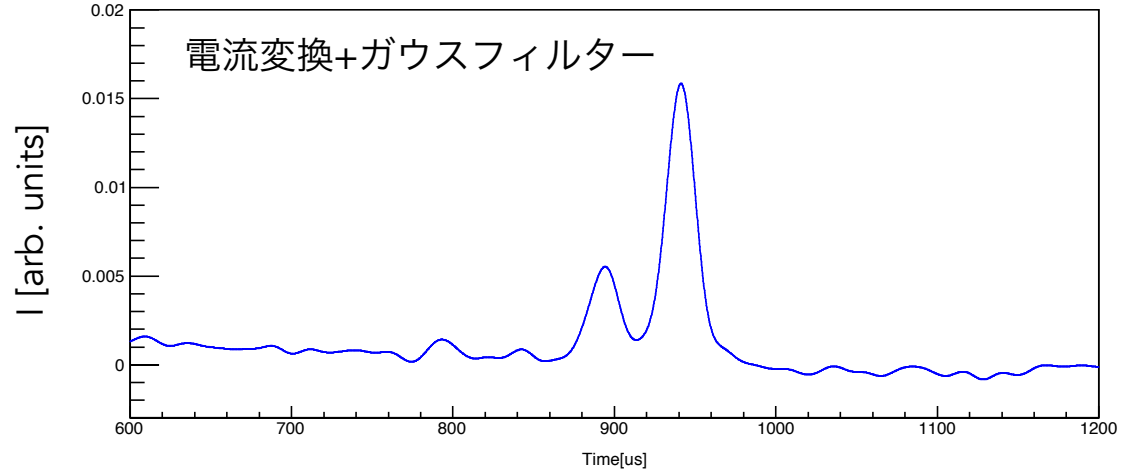
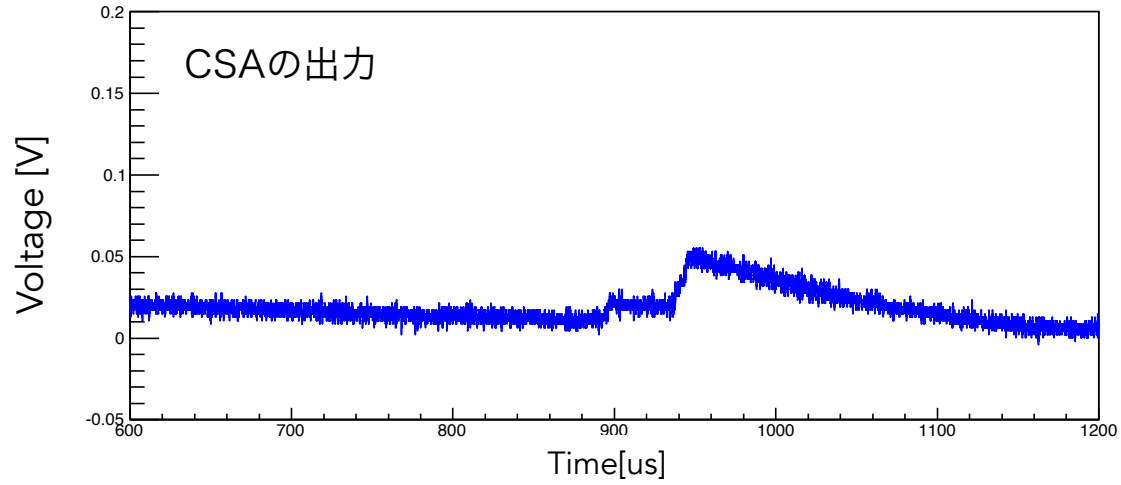
変換式

$$I(t) \propto \frac{dV}{dt} - \left( -\frac{V}{\tau} \right)$$

CREMATの時定数  $\tau = 140\text{us}$

+

ガウスフィルター



# マイノリティチャージの電場依存性 N.Phan(DRIFTグループ)の論文から

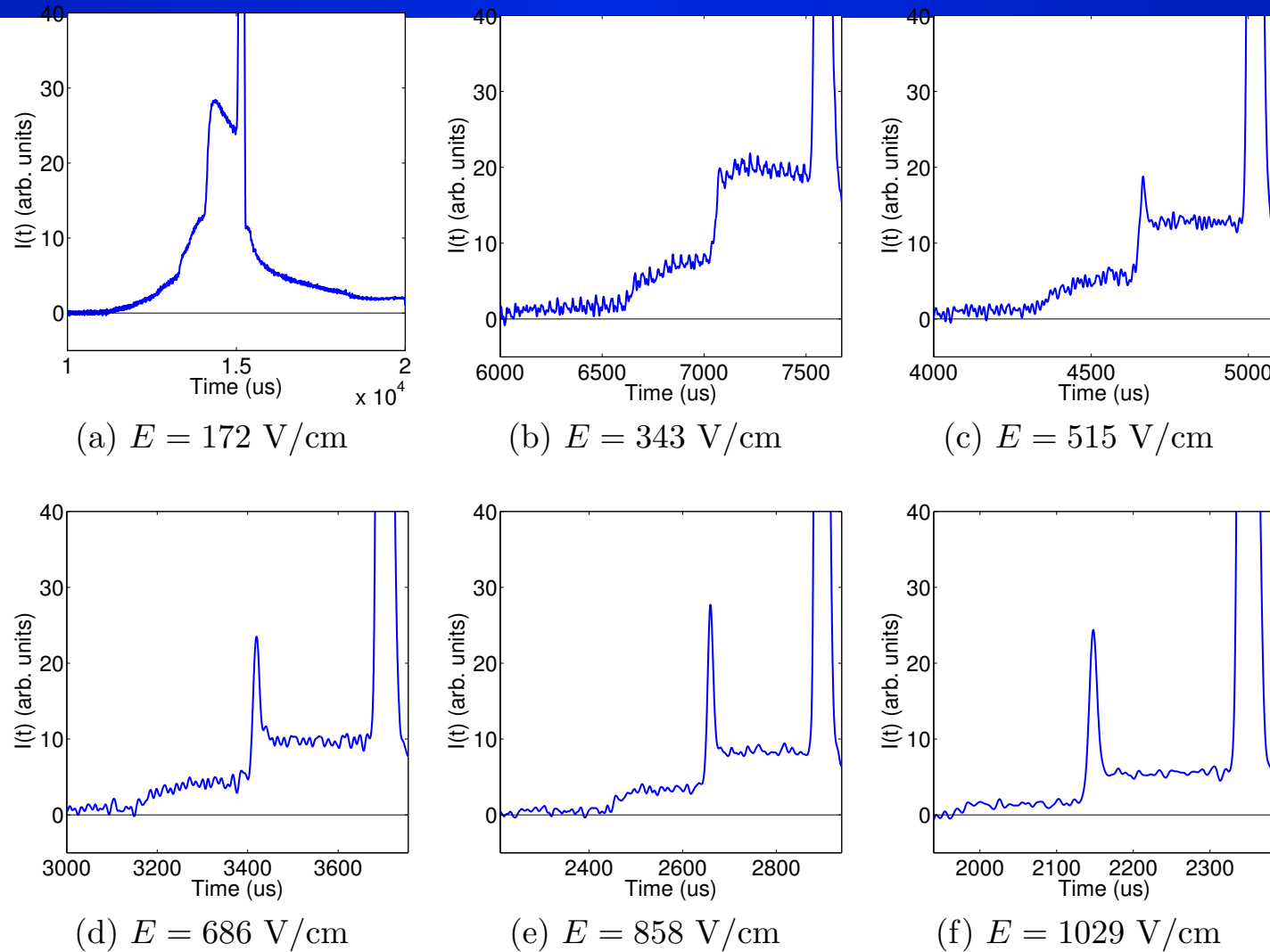


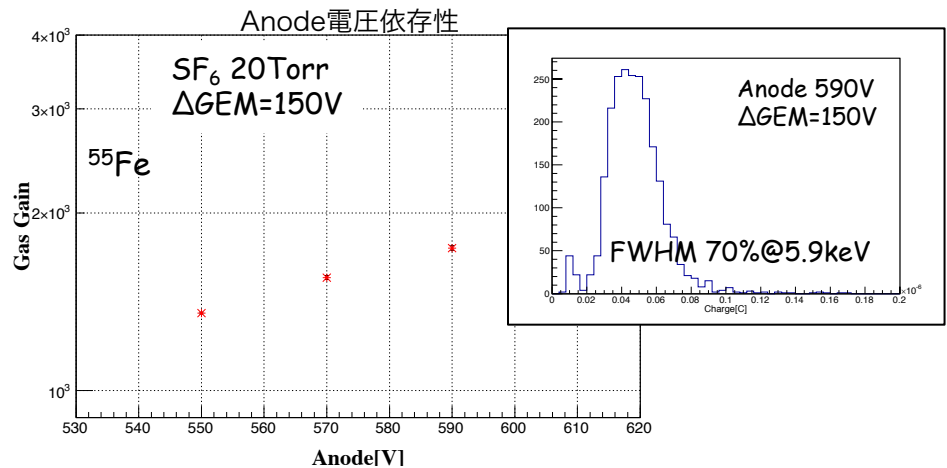
Figure 3: 20 Torr SF<sub>6</sub>, close up view of pre-primary peak ionization.

arXiv1609.05249

# ガスゲイン

- 先行研究ではSF<sub>6</sub>ガスを用いたときのμ-PIC+GEMシステムのガスゲインを調べた

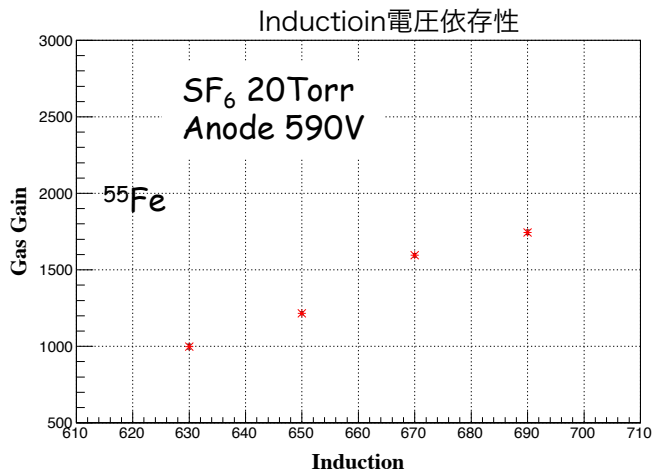
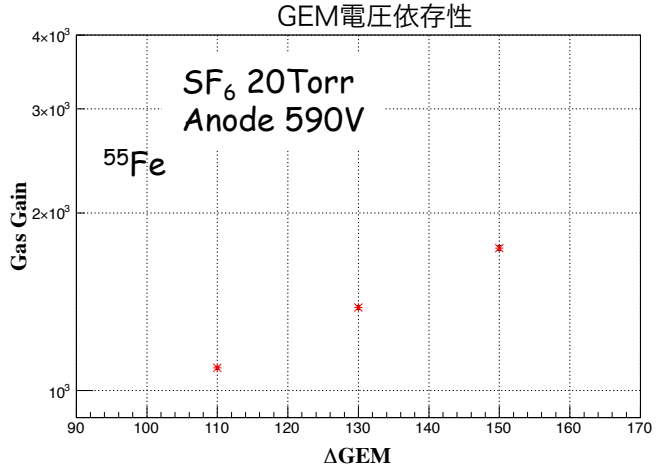
JPS2016春季大会発表スライド



SF<sub>6</sub> 20Torrで最大ガスゲイン～2000

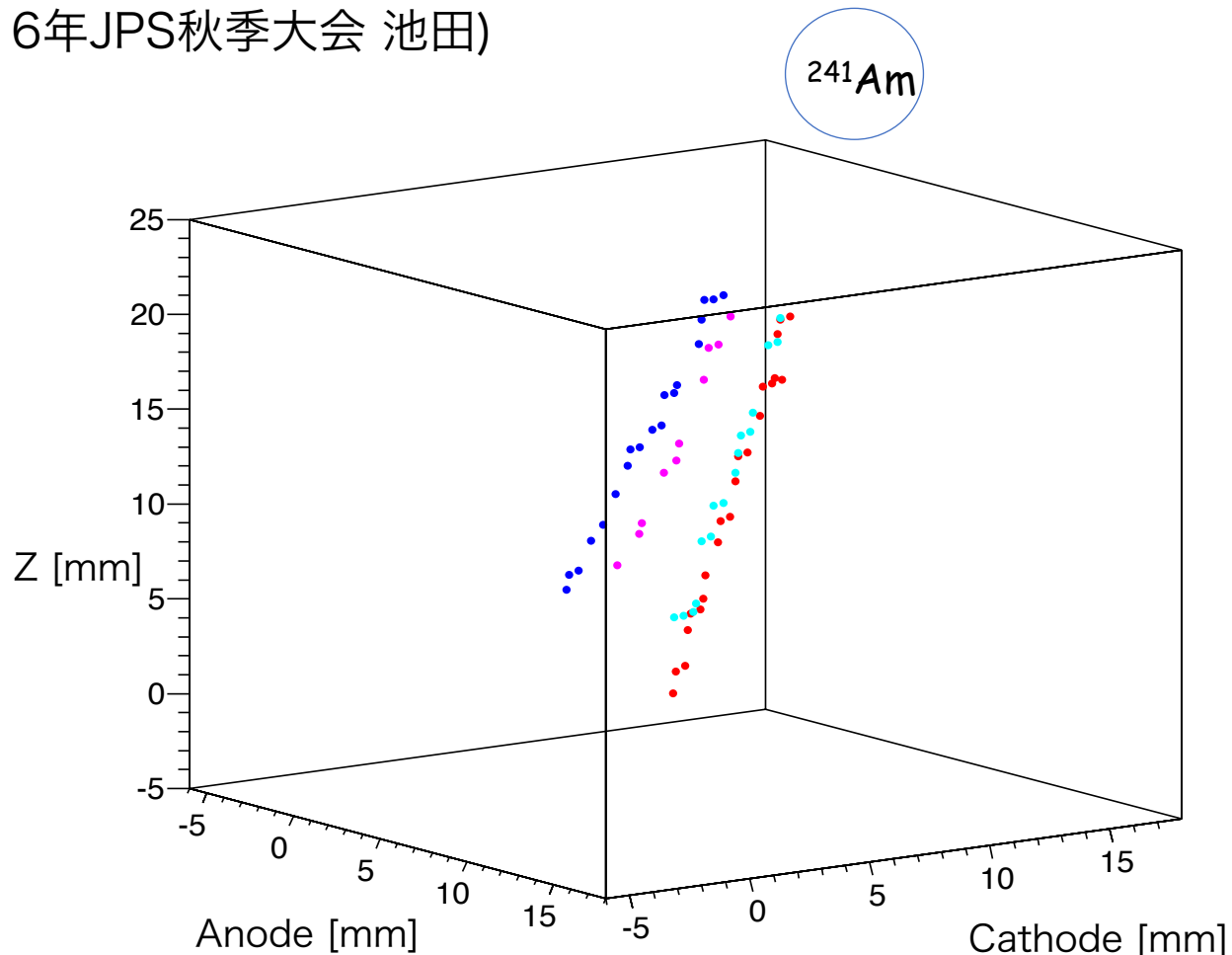
μ PIC+GEMシステムは陰イオンSF<sub>6</sub>中でも十分なガスゲインが得られることを示した

→ 二次元飛跡検出



# 飛跡検出

- 先行研究では $\mu$ -PIC+GEMシステムを用いて、3次元の飛跡検出に成功した。  
(2016年JPS秋季大会 池田)



# H<sub>2</sub>Oの除去

